



БИООРГАНИЧЕСКАЯ ХИМИЯ

том 13 * №10 * 1987

УДК 577.152.241*1.042

ВЗАИМОДЕЙСТВИЕ МЫШЕЧНОЙ ГЛИКОГЕНФОСФОРИЛАЗЫ С НИКОТИНОВОЙ КИСЛОТОЙ, НИКОТИНАМИДОМ, N-НИКОТИНОИЛ- γ -АМИНОМАСЛЯНОЙ КИСЛОТОЙ И НИКОТИНАМИДНЫМИ КОФЕРМЕНТАМИ

Клинова Н. И., Чеботарева Н. А., Клинов С. В.,
Курганов Б. И., Буланова Л. Н., Копелевич В. М.,
Гунар В. И.

Научно-производственное объединение «Витамины». Москва

Изучено ингибирующее действие никотиновой кислоты, никотинамида, N-никотиноил- γ -аминомасляной кислоты, NAD, NADH, NADP, NADPH на гликогенфосфорилазу *b* из скелетных мышц кролика. Ингибирование является обратимым и характеризуется положительной кооперативностью (значение коэффициента Хилла превышает единицу). Определены значения концентрации «полупасыщения» и значения коэффициента Хилла для исследованных соединений: для никотиновой кислоты (28 мМ; 1,4), никотинамида (4,4 мМ; 1,2), N-никотиноил- γ -аминомасляной кислоты (9,5 мМ; 1,4), NAD (4,4 мМ; 1,2), NADH (0,93 мМ; 1,2). Методом скоростной седimentации охарактеризован NADH-связывающий центр субъединицы гликогенфосфорилазы *b*. Микроскопическая константа диссоциации определена равной 86±9 мкМ (рН 6,8; 20° С). Показано, что NADH препятствует ассоциации гликогенфосфорилазы *b*, индуцируемой AMP.

Гликогенфосфорилаза (КФ 2.4.1.1) в интактных организмах катализирует фосфоролитическое расщепление гликогена с образованием α -D-глюкозо-1-фосфата [1]. В мышце, находящейся в состоянии покоя, преобладает дефосфорилированная форма фермента [2]. Индуцируемая аллостерическим активатором AMP каталитическая активность гликогенфосфорилазы *b* в покоящейся мышце в сильной степени подавлена аллостерическими ингибиторами — ADP, ATP и глюкозо-6-фосфатом [3]. К природным соединениям, способным ингибировать мышечную гликогенфосфорилазу *b*, относится также NAD и NADH [3, 4]. Кристаллографические исследования, проведенные с разрешением 3,5 Å, выявили связывание NADH в двух нуклеотидных центрах фермента: в активаторном и ингибиторном, которые находятся на расстоянии 3,3 и 1,2 нм от катализического центра соответственно. При связывании с ферментом NADH сохраняет свернутую конформацию, в которой никотинамидный и адениновый фрагменты расположены вблизи друг от друга на расстоянии 0,6 нм. NAD связывается в двух нуклеотидных центрах гликогенфосфорилазы *b* [4]. По литературным данным, NADP и NADPH слабо ингибируют гликогенфосфорилазу *b* [3, 5], хотя NADPH способен элюирировать гликогенфосфорилазу *b* с AMP-сепарозы [6].

Настоящая работа посвящена изучению ингибирования мышечной гликогенфосфорилазы *b* никотиновой кислотой, никотинамидом и никотинамидными коферментами. Было также изучено ингибирование гликогенфосфорилазы *b* производным никотиновой кислоты, обладающим нейрофармакологической активностью, N-никотиноил- γ -аминомасляной кислотой [7, 8]. Связывание NADH гликогенфосфорилазой *b* охарактеризовано методом скоростной седиментации. С помощью этого метода изучено также влияние NADH на индуцируемую AMP ассоциацию гликогенфосфорилазы *b*.

Нами впервые исследовано ингибирование гликогенфосфорилазы *b* под действием никотинамида и его производных. Никотинамид, никотиновая кислота и N-никотиноил- γ -аминомасляная кислота снижают каталитическую активность гликогенфосфорилазы *b*, индуцируемую AMP (рис. 1).

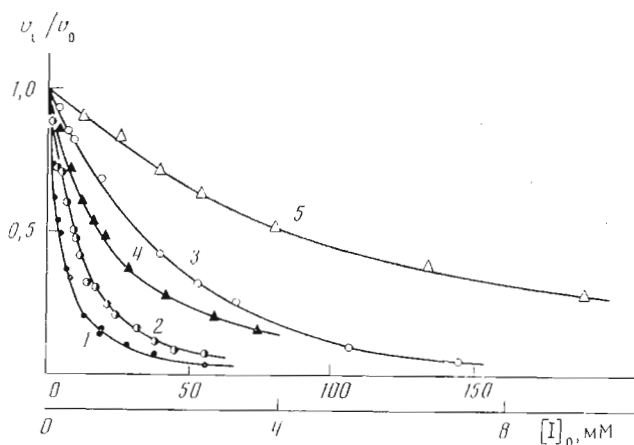


Рис. 1. Зависимости относительной скорости реакции, катализируемой гликогенфосфорилазой *b* в присутствии 0,1 мМ АМР, от концентрации никотинамида (1), N-никотином-γ-аминомасляной кислоты (2), никотиповой кислоты (3), NADH (4) и NAD (5). Для кривых 4 и 5 — нижняя ось абсцисс

Ингибиование гликогенфосфорилазы *b* в присутствии никотиновой кислоты, никотинамида и N-никотином-γ-аминомасляной кислоты обратимо, поскольку предварительное смешивание раствора фермента с концентрированным раствором ингибитора не приводит к изменению степени ингибирования по сравнению со смешиванием раствора фермента с разбавленным раствором ингибитора (при условии равенства конечных концентраций фермента и ингибитора). Количественный анализ ингибирующего действия никотиновой кислоты и ее производных проводили с использованием линейной формы уравнения Хилла (см. [9], с. 43):

$$\lg \left(\frac{v_0}{v_i} - 1 \right) = n_H \lg [I]_0 - n_H \lg [I]_{0,5}, \quad (1)$$

где v_0 и v_i — начальные скорости ферментативной реакции в отсутствие и в присутствии ингибитора соответственно, $[I]_0$ — общая концентрация ингибитора, $[I]_{0,5}$ — значение $[I]_0$, при котором $v_i/v_0 = 1/2$, n_H — коэффициент Хилла. Параметры уравнения (1) и стандартные ошибки определяли с использованием метода наименьших квадратов. Ингибирующее действие никотиновой кислоты, никотинамида и N-никотином-γ-аминомасляной кислоты на гликогенфосфорилазу *b* характеризуется положительной кинетической кооперативностью (таблица), что свидетельствует о существовании положительных кооперативных взаимодействий между центрами связывания никотиновой кислоты и ее производных в димерной молекуле гликогенфосфорилазы *b*. Величина коэффициента Хилла для никотинамида немного ниже, чем для никотиновой кислоты и N-никотином-γ-аминомасляной кислоты, в то время как величина $[I]_{0,5}$ для никотиновой кислоты в 6 раз превышает значение концентрации «полунасыщения» для никотинамида. Сравнение величин $[I]_{0,5}$ для никотинамида и N-никотином-γ-аминомасляной кислоты свидетельствует о том, что присоединение карбоксипропильной группы к карбоксамидному атому

Параметры уравнения Хилла для ингибиования гликогенфосфорилазы *b* никотиновой кислотой и ее производными

Ингибитор	n_H	$[I]_{0,5}$, мМ
Никотиновая кислота	$1,43 \pm 0,02$	28 ± 2
Никотинамид	$1,22 \pm 0,01$	$4,4 \pm 0,1$
N-Никотином-γ-аминомасляная кислота	$1,37 \pm 0,01$	$9,5 \pm 0,3$
NADH	$1,20 \pm 0,01$	$0,93 \pm 0,05$
NAD	$1,20 \pm 0,02$	$4,4 \pm 0,3$

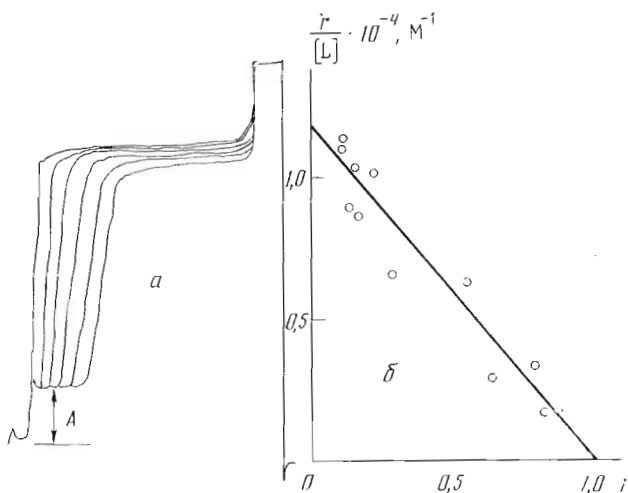


Рис. 2. Седиментация комплекса гликогенфосфорилазы *b* с NADH: *a* — седиментограммы, прописанные с интервалом 6 мин. Направление седиментации слева направо. Скорость вращения ротора 60 000 об/мин. Концентрация фермента в расчете на мономер — 146,2 мкМ, концентрация NADH — 23,6 мкМ; *б* — линейная аноморфоза данных по связыванию NADH с ферментом в координатах Скэтчарда

азота никотинамида приводит к более чем двукратному увеличению концентрации «полунасыщения».

В связи с обнаруженным кооперативным характером ингибирующего действия никотинамида на гликогенфосфорилазу *b* нами было проведено исследование ингибирующего действия никотинамидных коферментов на гликогенфосфорилазу *b* (рис. 1, 4, 5). Ингибирующее действие NAD и NADH на гликогенфосфорилазу *b* обратимо и характеризуется положительной кинетической кооперативностью (таблица). Значения коэффициентов Хилла для NAD и NADH превышают единицу, что говорит о существовании положительных кооперативных взаимодействий между центрами связывания NAD и NADH в димерной молекуле гликогенфосфорилазы *b*. Сравнение величин $[I]_{0,5}$ для изученных соединений показывает, что в группе никотиновой кислоты и ее производных NADH обладает наиболее высоким сродством к гликогенфосфорилазе *b*. Следует отметить, что NADP и NADPH характеризуются более низким сродством к ферменту по сравнению с NAD и NADH: степень ингибирования составляет 26 и 46% для 7,6 мМ NADPH и 8,7 мМ NADP соответственно.

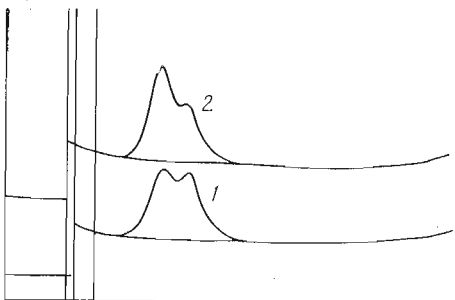
Дополнительная информация о взаимодействии NADH с гликогенфосфорилазой *b* была получена методом скоростной седиментации, который позволяет оценить прочность взаимодействия лиганда с ферментом и определить стехиометрию процесса комплексообразования. Типичная седиментограмма смеси фермента с NADH приведена на рис. 2а. Седиментацию регистрировали по поглощению лиганда при 340 нм, где поглощением фермента можно пренебречь. Свободный NADH практически не седиментирует, поэтому наблюдаемая граница седиментации связана с движением комплекса фермент — NADH, а остаточное плато у мениска (*A*) соответствует поглощению свободного лиганда.

Данные по связыванию NADH гликогенфосфорилазой *b* представляли в координатах $\{r/[L]; r\}$ (рис. 2б) в соответствии с уравнением Скэтчарда:

$$\frac{r}{[L]} = \frac{n}{K} - \frac{1}{K} r, \quad (2)$$

где K — микроскопическая константа диссоциации комплекса фермента с лигандом, n — число центров связывания NADH в мономере фермента, r — число молей связанного NADH на моль мономеров фермента. Концентрацию свободного лиганда ($[L]$) рассчитывали на основании значений оптического поглощения (*A*), регистрируемого к определенному моменту

Рис. 3. Влияние NADH на ассоциацию гликогенфосфорилазы *b*, индуцируемую 1 мМ АМР. Шлирен-седиментограммы гликогенфосфорилазы *b* (8 мг/мл) в отсутствие (1) и в присутствии (2) 0,7 мМ NADH. Направление седиментации — слева направо. Время седиментации 20 мин



времени в области остаточного плато у мениска в ячейке, содержащей смесь фермента с NADH (рис. 2а), и оптического поглощения лиганда на том же радиальном расстоянии в контрольной ячейке (без фермента) (A_0) по формуле

$$[L] = [L]_0 A/A_0,$$

где $[L]$ — общая концентрация лиганда. Такой способ расчета позволяет избежать ошибок, связанных с радиальным разбавлением. Концентрацию связавшегося лиганда $[EL]$ определяли как разность между величинами $[L]_0$ и $[L]$, а величину r — как отношение $[EL]/[E]_0$, где $[E]_0$ — общая концентрация фермента в расчете на мономер. Прямая на рис. 2б проведена с использованием параметров уравнения Скэтчарда, определенных по методу наименьших квадратов. Величины K и n оказались равными (86 ± 9) мкМ и $(1,0 \pm 0,1)$. Таким образом, расчет показывает, что одна молекула NADH связывается с мономером гликогенфосфорилазы *b*.

По данным кристаллографии [4], при больших концентрациях (100 мМ) NADH связывается в двух нуклеотидных центрах фермента, активаторном и ингибиторном, причем заполнение ингибиторного центра более слабое. При использованных нами концентрациях NADH (до 1 мМ) связывание происходит по одному центру, и, по-видимому, это нуклеотидный активаторный центр, для которого было показано лучшее связывание [4]. Положительная кинетическая кооперативность, обнаруженная нами для ингибирования гликогенфосфорилазы *b* под действием NADH, может быть интерпретирована как проявление положительных кооперативных взаимодействий центров связывания NADH, расположенных на различных субъединицах.

Методом скоростной седиментации с использованием шлирен-оптики нами также было изучено влияние NADH на ассоциацию гликогенфосфорилазы *b*, индуцируемую АМР. Гликогенфосфорилаза относится к классу медленно ассоциирующих ферментных систем типа димер \rightleftharpoons тетramer, и поэтому оказывается возможным подобрать такие экспериментальные условия, при которых обе олигомерные формы видны на седиментограмме как два частично перекрывающихся пика. На рис. 3 представлена шлирен-седиментограмма фермента при 17° С в присутствии 1 мМ АМР и 0,1 М KCl (0,05 М глицил-глициновый буфер, pH 6,8). Доля димерной и тетрамерной форм фермента в этих условиях приблизительно равны (кривая 1). Димерной форме соответствует левый пик с коэффициентом седиментации $s_{20,w} = 8,2$ S. При добавлении в систему 0,7 мМ NADH эта форма фермента становится преобладающей (кривая 2). Площадь пика на шлирен-седиментограмме соответствует концентрации определенной олигомерной формы фермента. Поэтому с помощью графического интегрирования [10] можно оценить площадь под каждым пиком и, следовательно, доли димерной и тетрамерной форм. Это, в свою очередь, дает возможность оценить константу ассоциации (K_A) по формуле ([9], с. 153):

$$K_A = \frac{1}{8[D]_0} \left\{ \frac{(2-\gamma)^2}{\gamma^2} - 1 \right\}, \quad (3)$$

где γ — доля димерной формы, $[D]_0$ — общая концентрация фермента в расчете на димер. Проведенная оценка показала, что в отсутствие NADH доля димерной формы составляет 0,52, а константа ассоциации равна 2,2.

$\cdot 10^6 \text{ M}^{-1}$. При внесении в систему 0,7 мМ NADH доля димерной формы увеличивается до 0,68, а константа ассоциации снижается до $0,9 \cdot 10^4 \text{ M}^{-1}$. Таким образом, NADH сдвигает положение равновесия димер \rightleftharpoons тетramer в сторону образования димера. Как отмечалось выше, NADH связывается, по-видимому, в активаторном центре фермента. Поэтому влияние NADH на положение равновесия димер \rightleftharpoons тетрамер может быть обусловлено конкуренцией NADH с АМР за активаторный центр.

Физиологическое значение ингибирующего действия витамина РР и его коферментных форм на гликогенфосфорилазу *b* может состоять в том, что эти соединения выступают в роли регуляторов процессов метаболизма гликогена. Повышенное содержание гликогена при избыточном поступлении никотиновой кислоты [11] может быть обусловлено замедлением фосфорилизации гликогена вследствие снижения каталитической активности гликогенфосфорилазы под действием никотиновой кислоты и ее метаболитов.

Экспериментальная часть

В работе использовали динатриевую соль аденоzin-5'-монофосфорной кислоты и дикалиевую соль глюкозо-1-фосфорной кислоты (Reanal, Венгрия), сефадекс G-10 и DEAE-сефадекс A-25 (Pharmacia, Швеция), DEAE-целлюлозу DE-52 (Whatman, Великобритания), остальные реагенты производства «Союзреактив» марки х. ч. и ч. д. а.

Никотинамид и никотиновую кислоту отечественного производства, NADP (Serva, ФРГ) и NADPH (Boehringer, ФРГ) использовали без дополнительной очистки. Очистку NAD (Reanal, Венгрия) проводили с использованием ионообменной хроматографии на DEAE-целлюлозе DE-52 с последующим обессоливанием на сефадексе G-10 [12] и лиофильным высушиванием. Очистку NADH (Reanal, Венгрия) проводили с использованием ионообменной хроматографии на DEAE-сефадексе A-25 [13] с последующим осаждением пятикратным объемом холодного ацетона [14]. Натриевую соль N-никотиноил- γ -аминомасляной кислоты синтезировали по методу, предложенному в работе [15]. Концентрацию никотиновой кислоты, никотинамида, N-никотинойл- γ -аминомасляной кислоты и никотинамидных коферментов определяли спектрофотометрически с использованием следующих величин молярных коэффициентов поглощения: $\varepsilon_{280}=17,8 \cdot 10^3 \text{ M}^{-1} \cdot \text{см}^{-1}$ для NAD и NADP [16], $\varepsilon_{340}=6,22 \cdot 10^3 \text{ M}^{-1} \cdot \text{см}^{-1}$ для NADH и NADPH [17], $\varepsilon_{261,5}=2,85 \cdot 10^3 \text{ M}^{-1} \cdot \text{см}^{-1}$ для никотинамида [18], $\varepsilon_{260,6}=-3733 \text{ M}^{-1} \cdot \text{см}^{-1}$ для N-никотиноил- γ -аминомасляной кислоты (величина ε получена авторами настоящей работы), $\varepsilon_{261,5}=2,9 \cdot 10^3 \text{ M}^{-1} \cdot \text{см}^{-1}$ для никотиновой кислоты. Последняя величина была рассчитана, исходя из значения $\varepsilon_{261,5}=3,1 \cdot 10^3 \text{ M}^{-1} \cdot \text{см}^{-1}$ для никотиновой кислоты при pH 5,6 [18] и определенного нами соотношения оптического поглощения эквимолярных растворов никотиновой кислоты при pH 5,6 и 6,8, равного 1,08.

Гликогенфосфорилазу *b* выделяли из скелетных мышц кролика по методу, описанному в работе [19]. Четырехкратно перекристаллизованный препарат фермента использовали не более чем в течение 2 нед после выделения. АМР удаляли из раствора фермента адсорбцией на активированном угле Norit A по методике, описанной в работе [19]; полученный препарат гликогенфосфорилазы *b* использовали в течение 1 дня. Гликоген из печени свиньи производства Олайнского завода химических реактивов очищали по методике, описанной в работе [20]. Концентрацию фермента определяли спектрофотометрически при 280 нм, удельный коэффициент поглощения 1,32 (г/л) $^{-1} \cdot \text{см}^{-1}$ [21].

Ферментативную реакцию проводили в направлении наращивания полисахаридных цепей гликогена в присутствии 4 мМ глюкозо-1-фосфата, 1,0 г/л гликогена при 30° С с использованием 0,05 М глицерил-глицеринового буфера, pH 6,8, содержащего 0,2 мМ EDTA и 0,3 М KCl. Каталитическую активность определяли турбидиметрическим методом, предложенным в работе [22]. Ферментативную активность в присутствии никотиновой кислоты, никотинамида и N-никотиноил- γ -аминомасляной кислоты определяли при 310 нм, а в присутствии никотинамидных коферментов — при 400 нм. Ферментативную реакцию начинали, добавляя от 30 до 50 мкг гликогенфосфорилазы *b* к реакционной смеси. Специально было показано, что порядок добавления компонентов не влияет на величину начальной скорости ферментативной реакции. Относительная ошибка определения скорости ферментативной реакции составляла 3%.

Сedimentационные исследования проводили в аналитической ультрацентрифуге Spinco, модель E, оборудованной абсорбционной оптической системой, фотоэлектрическим сканирующим устройством, монохроматором, мультиплексором (Beckman, Австрия) и двухкоординатным самописцем NE-230 (EMG, Венгрия). В опытах по связыванию NADH ферментом использовали четырехканальный ротор An-F, Ti и двухсекторные ячейки с угольными 12-мм вкладышами (№ 306 493). В опыте использовали три ячейки, в двух из которых была смесь NADH и гликогенфосфорилазы *b*, а в третьей (контрольной) — только NADH в той же концентрации, что и в:

бостоящих ячейках. Седиментацию регистрировали по поглощению лигандов при 340 нм. После оседания комплекса фермента с NADH на дно ячейки концентрацию оставшегося лиганды в области плато у мениска принимали равной равновесной концентрации свободного лиганды.

Влияние NADH на олигомерное состояние фермента было изучено с использованием ширеп-оптики и двухканального ротора Ап-Д. Скорость вращения ротора составляла 56 000 об/мин. В роторе одновременно находились две ячейки с раствором фермента в буфере, содержащем 1 мМ AMP; в одну из ячеек был добавлен NADH. Использование клиновидного кварцевого стекла в одной из ячеек позволяло получать обе седиментограммы на одной фотографии. В седиментационных исследованиях использовали 0,05 М глицил-глюциновый буфер, pH 6,8, содержащий 0,2 мМ EDTA и 0,1 М KCl.

ЛИТЕРАТУРА

1. Dombradi V. // Int. J. Biochem. 1981. V. 13. № 2. P. 125–139.
2. Krebs E. G., Fischer E. H. // J. Biol. Chem. 1955. V. 216. № 4. P. 113–120.
3. Morgan H. E., Parmeggiani A. // J. Biol. Chem. 1964. V. 239. № 8. P. 2440–2445.
4. Stura E. A., Zanotti G., Babu Y. S., Sansom M. S. P., Stuart D. I., Wilson K. S., Johnson L. N., Van de Werve G. // J. Mol. Biol. 1983. V. 170. № 2. P. 529–565.
5. Madsen N. B., Shechosky S. // J. Biol. Chem. 1967. V. 242. № 14. P. 3301–3307.
6. Dombradi V., Vereb G., Bot G. // Int. J. Biochem. 1979. V. 10. № 11. P. 905–908.
7. Бендиков Э. А., Шмульович Л. М., Копелевич В. М. // Бюлл. экспер. биол. 1972. № 1. С. 65–69.
8. Копелевич В. М., Сыгинский И. А., Гунар В. И. // Хим.-фарм. журн. 1981. Т. 15. № 5. С. 27–39.
9. Курганов Б. И. Аллостерические ферменты. М.: Наука, 1978.
10. Chervenka C. H. A Manual of Methods for the Analytical Ultracentrifuge, Spinco Division of Beckman Instruments, Inc., Palo Alto, 1969. P. 9.
11. Koch R. // Intern. Z. Vitamin-Forsch. 1950. B. 22. № 1. S. 136–145.
12. Dickinson F. M., Engel P. C. // Anal. Biochem. 1977. V. 82. № 2. P. 523–531.
13. Wenz I., Loesche W., Till U., Petermann H., Horn A. // J. Chromatogr. 1976. V. 120. № 1. P. 187–196.
14. Kornberg A. // Meth. Enzymol. 1957. V. 3. P. 876–879.
15. Ковалев Г. Н., Копелевич В. М., Буланова Л. Н., Гурский Р. Н., Гунар В. И., Раевский К. С. // Хим.-фарм. журн. 1979. Т. 13. № 10. С. 18–23.
16. Winer A. D. // J. Biol. Chem. 1964. V. 239. № 10. P. PC 3598–PC 3600.
17. Horecker B. L., Kornberg A. // J. Biol. Chem. 1948. V. 175. № 1. P. 385–390.
18. Березовский В. М. Химия витаминов. М.: Пищ. пром-сть, 1973. С. 293–294.
19. Fischer E. H., Krebs E. G. // J. Biol. Chem. 1958. V. 231. № 1. P. 65–71.
20. Sutherland E. W., Wosilait W. D. // J. Biol. Chem. 1956. V. 218. № 1. P. 459–468.
21. Buc M. H., Ullmann A., Goldberg M., Buc H. // Biochimie. 1971. B. 53. № 3. С. 283–289.
22. Сугробова И. П., Лисовская Н. П., Курганов Б. И. // Биохимия. 1982. Т. 47. Вып. 11. С. 1883–1888.

Поступила в редакцию
6.I.1987

THE INTERACTION OF MUSCLE GLYCOGEN PHOSPHORYLASE *b* WITH NICOTINIC ACID, NICOTINAMIDE, N-Nicotinoyl- γ -AMINOBUTYRIC ACID, AND NICOTINAMIDE COENZYMES

KLINOVA N. I., CHEBOTAREVA N. A., KLINOV S. V.,
KURGANOV B. I., BULANOVA I. N., KOPELEVICH V. M.,
GUNAR V. I.

All-Union Vitamin Research Institute, Moscow

The inhibitory action of nicotinic acid, nicotinamide, N-nicotinoyl- γ -aminobutyric acid, NAD, NADH, NADP, and NADPH on the rabbit skeletal muscle glycogen phosphorylase *b* has been studied. The inhibition is reversible and positively cooperative (the value of Hill coefficient exceeds unity). Half-saturation concentrations and Hill coefficients were determined for the following compounds: nicotinic acid (28 mM; 1,4), nicotinamide (4,4 mM; 1,2), N-nicotinoyl- γ -aminobutyric acid (9,5 mM; 1,4), NAD (4,4 mM; 1,2), NADH (0,93 mM; 1,2). NADH-binding site of glycogen phosphorylase *b* subunit was characterised by the sedimentation velocity method. Microscopic dissociation constant was found to be 86±9 μM (pH 6,8; 20° C). AMP-induced association of glycogen phosphorylase *b* is hindered by NADH.